

基于连续变量纠缠的安全通信研究

报告人：何广强 曾贵华

上海交通大学电子工程系
区域光纤通信网与新型光通信系统国家重点实验室

gqhe@sjtu.edu.cn or laser_gqhe@hotmail.com

连续变量量子信息简介
基于连续变量EPR纠缠...
基于连续变量EPR纠缠...



连续变量量子安全通信研究

1. 连续变量量子信息简介

2. 基于连续变量EPR纠缠对的量子直接安全通信

3. 基于连续变量EPR纠缠对的确定性量子密钥分发

致 谢

连续变量量子信息简介
基于连续变量EPR纠缠对的量子直接安全通信
基于连续变量EPR纠缠对的确定性量子密钥分发



访问主页

标 题 页

◀ ▶

◀ ▶

第 2 页 共 17 页

返 回

全 屏 显 示

关 闭

退 出

1 连续变量量子信息简介

● 简介

单模电磁场的一对正交共轭变量为：

$$X_1 = \frac{1}{2}(\hat{a} + \hat{a}^\dagger), X_2 = \frac{1}{2i}(\hat{a} - \hat{a}^\dagger). \quad (1)$$

满足测不准原理

$$\Delta X_1 \Delta X_2 \geq \frac{1}{4} \quad (2)$$

X_1 和 X_2 不能同时被精确测量，利用 X_1 和 X_2 作为信号载波实现共轭编码，构成连续变量量子密码的物理基础。

● 优势

- ★ 容易制备相干态；
- ★ 零差或外差检测相对容易；
- ★ 容易调制相位和振幅；
- ★ 通信速率高。



2 基于连续变量EPR纠缠对的直接安全通信

2.1. 协议描述

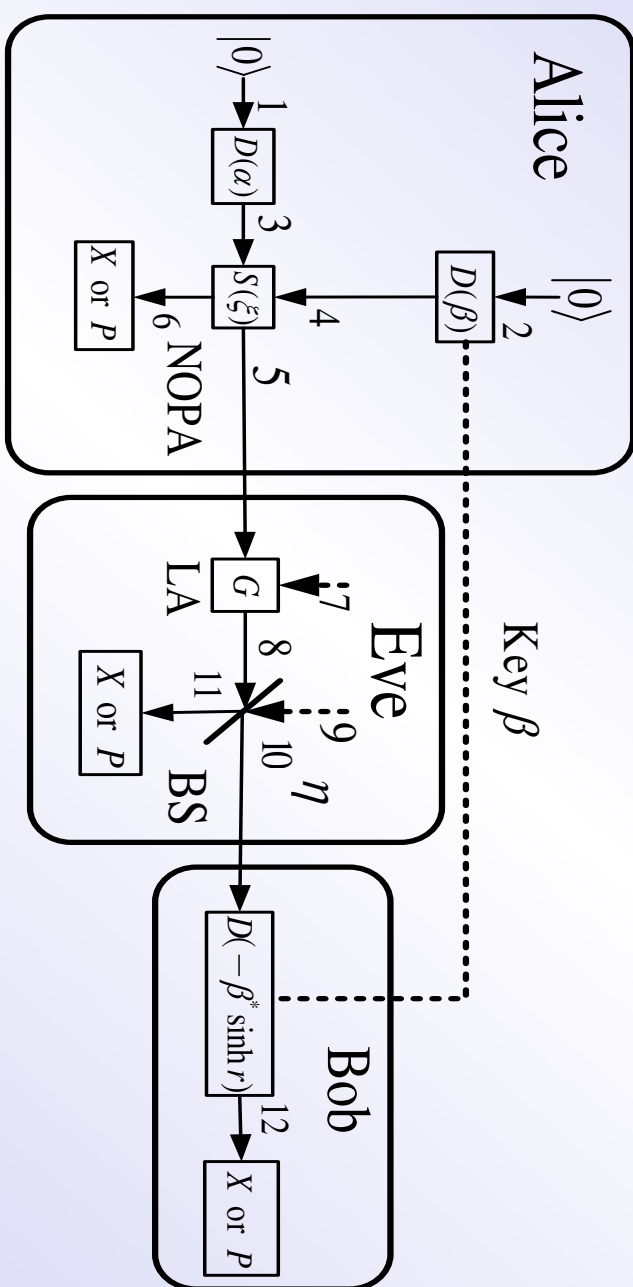


图1. 基于连续变量EPR纠缠对的量子安全通信方案框图

★ He-Guangqiang, Zhu-Jun, Zeng-Guihua, Physical Review A (2006) 73, 012314



2.2. 引入纠缠参数 F

2.2.1. 双模压缩变换

$$\begin{aligned} X_{out1} &= X_{in1} \cosh(r) + X_{in2} \sinh(r), \\ P_{out1} &= P_{in1} \cosh(r) - P_{in2} \sinh(r), \\ X_{out2} &= X_{in2} \cosh(r) + X_{in1} \sinh(r), \\ P_{out2} &= P_{in2} \cosh(r) - P_{in1} \sinh(r). \end{aligned} \tag{3}$$

2.2.2. 纠缠参数 F

$$F = \langle (\Delta(X_{out1} - k_1 X_{out2}))^2 \rangle_{min} \langle (\Delta(P_{out1} + k_2 P_{out2}))^2 \rangle_{min} \tag{4}$$

当两模具有理想关联时， $F = 0$;当两模无关时， $F \rightarrow +\infty$ 。纠缠参数 F 反映了EPR关联对的完善程度，因此可以判断窃听者对量子信道的破坏程度。



2.3. 安全性分析

2.3.1. 秘密信息速率(QKD)

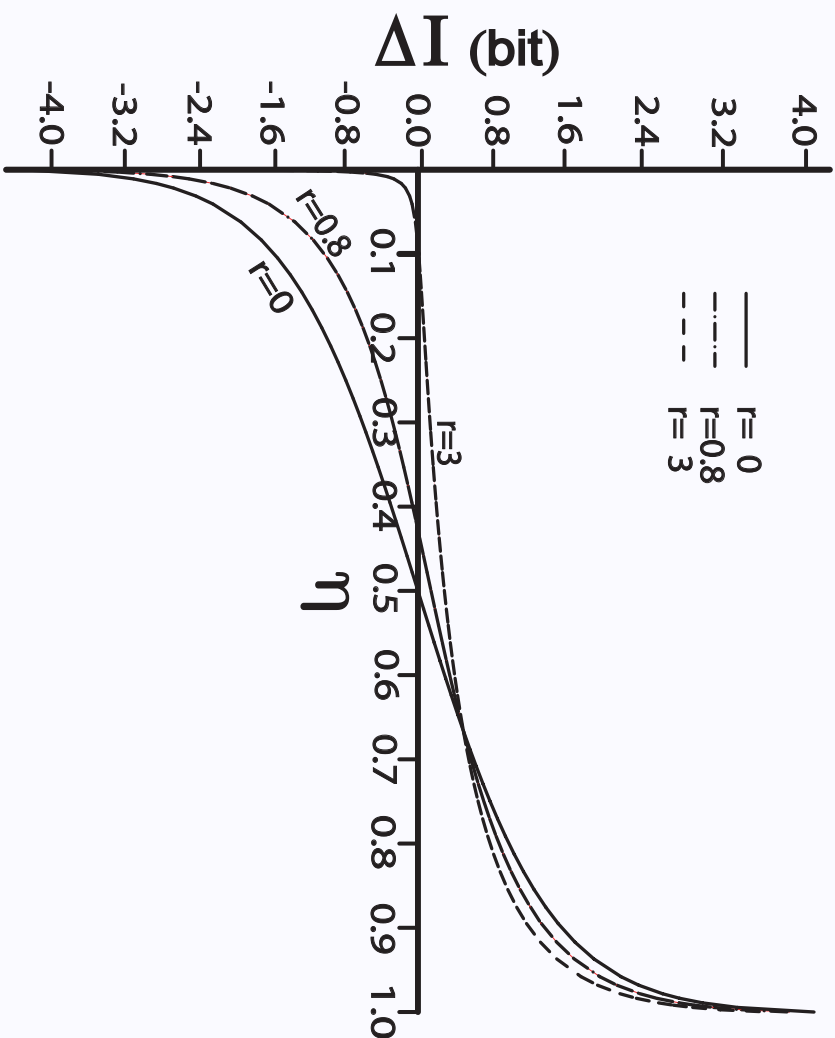


图2. ΔI 与 η 之间的关系。 $(\Sigma = 10, \sigma = 0, G = 1)$.



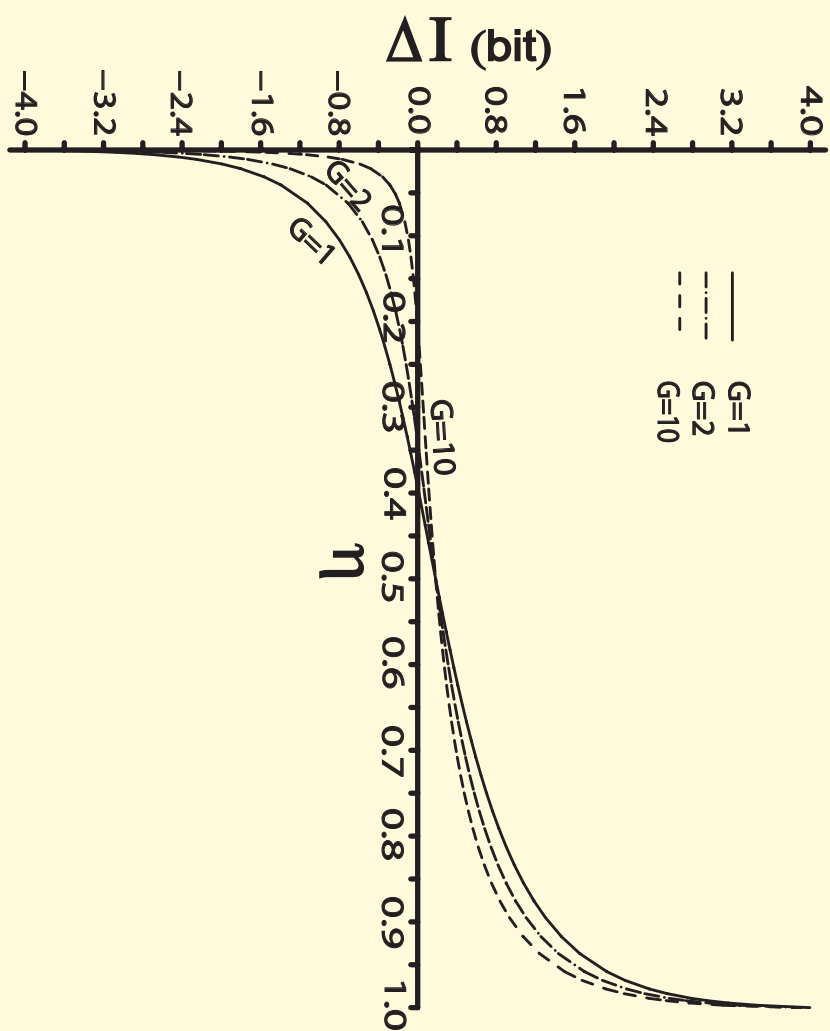


图3. ΔI 与 η 之间的关系, ($\Sigma = 10, \sigma = 0, r = 1$).



2.3.2. $I_{max}(\alpha, \epsilon)$ (QE)

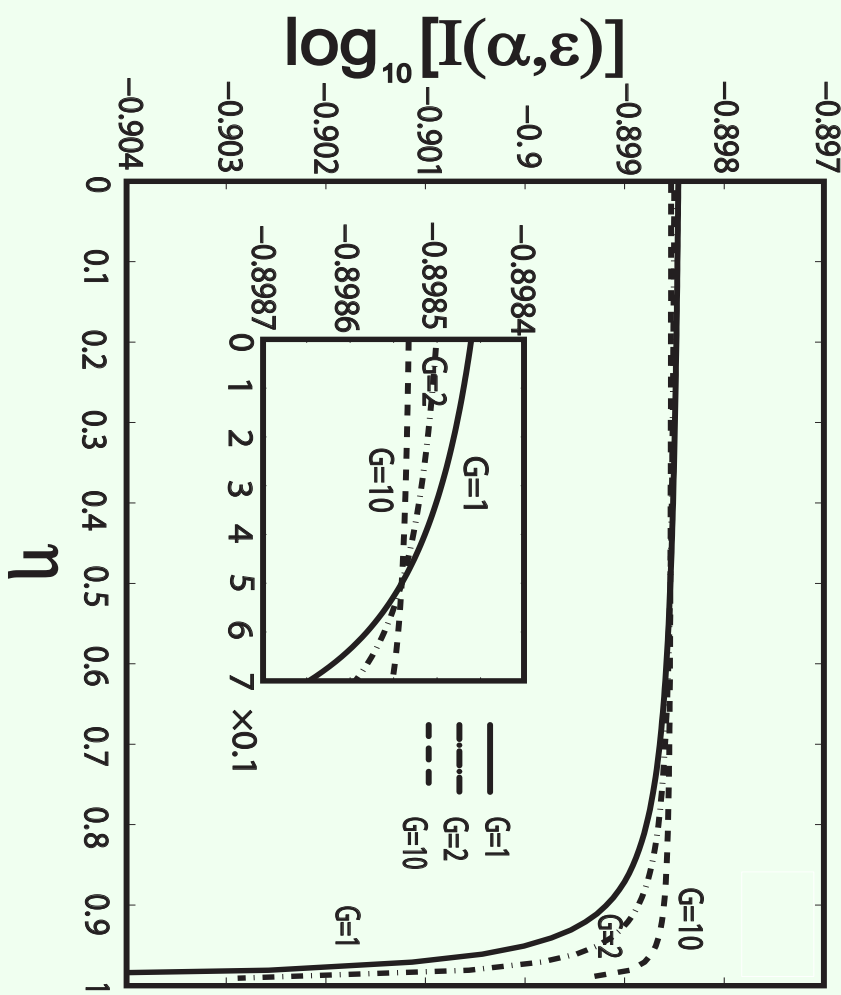


图4. $I(\alpha, \epsilon)$ 与 η 之间的关系, $\Sigma = 10, \sigma = 30, r = 1$



2.3.3. 窃听检测

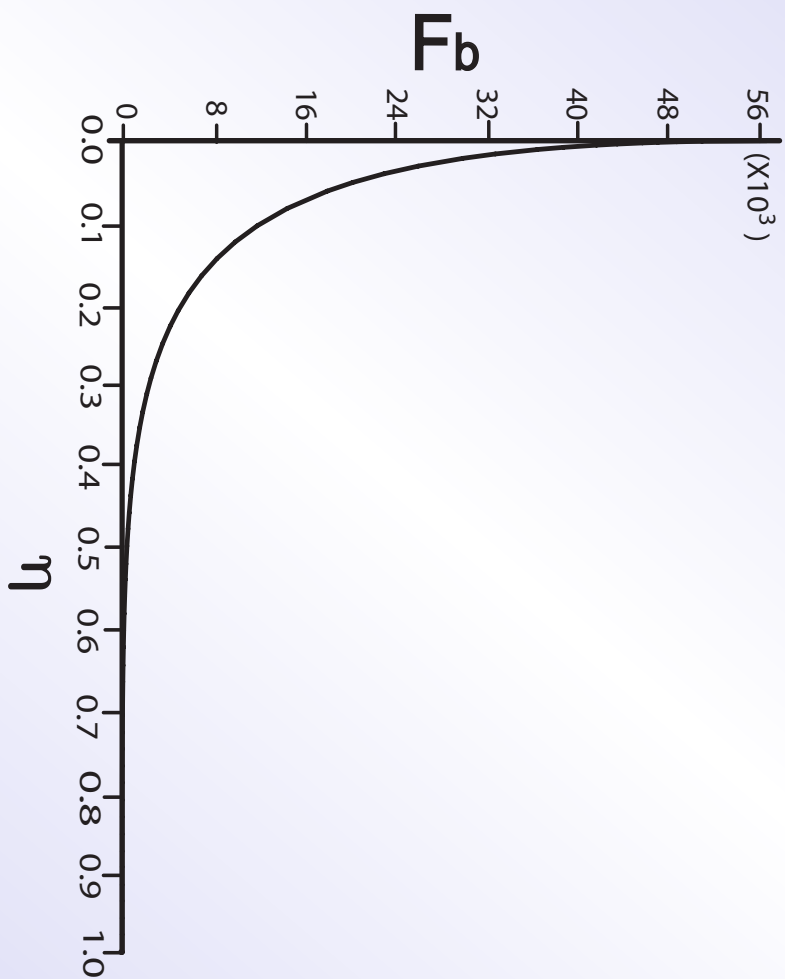


图5. 量子密钥分发过程中 F_b 与 η 之间的关系, $\Sigma = 10, \sigma = 0, G = 1, r = 1$ 。

连续变量量子信息简介
基于连续变量EPR纠缠...
基于连续变量EPR纠缠...



2.3.4. ΔI 与 F_b 之间的关系

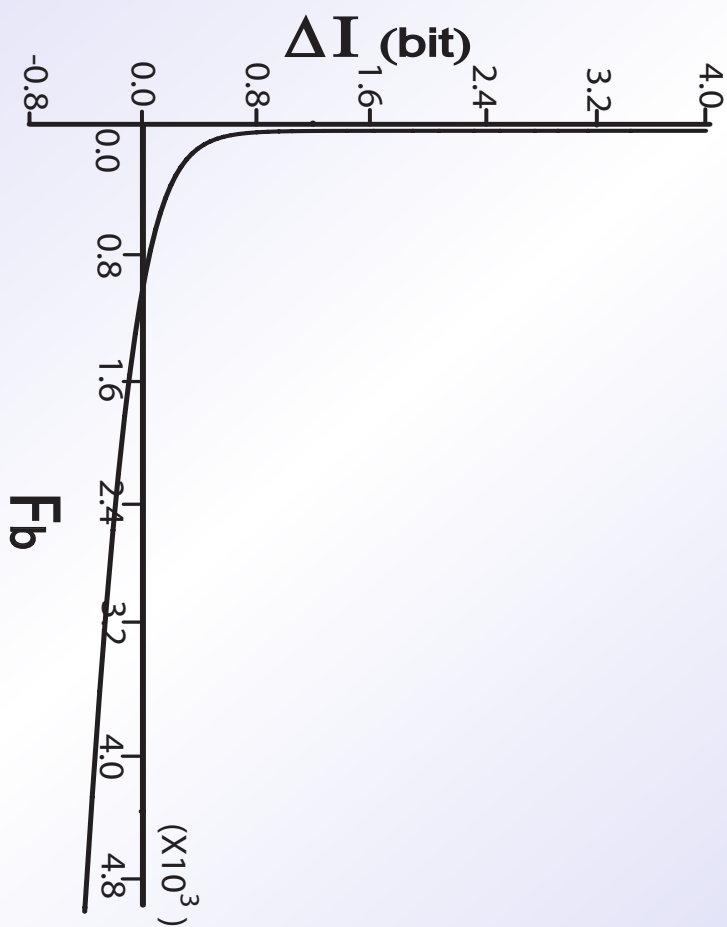


图6. 量子密钥分发过程中 ΔI 与 F_b 之间的关系, $\Sigma = 10, \sigma = 0, G = 1, r = 1$ 。

★ ΔI 随着 F_b 的增大急剧减小。当 F_b 达到最小值时, ΔI 达到最大值。例如当 $\Sigma =$

$10, \sigma = 0, G = 1, r = 1, F_{bmin} = 3.248 \times 10^{-2} < \frac{1}{16}$, $\Delta I_{max} = 3.995$ 比特。





2.4. 小结

优点

1 该方案可同时实现量子密钥分发和量子加密，可以实现量子安全通信；

信；

2 通信速率高，容易实验实现；

4 纠缠参数 F 能有效阻止光束分离攻击。

缺点

★ 对信道损耗比较敏感。

3 基于连续变量EPR纠缠对的确定性QKD

3.1. 协议描述

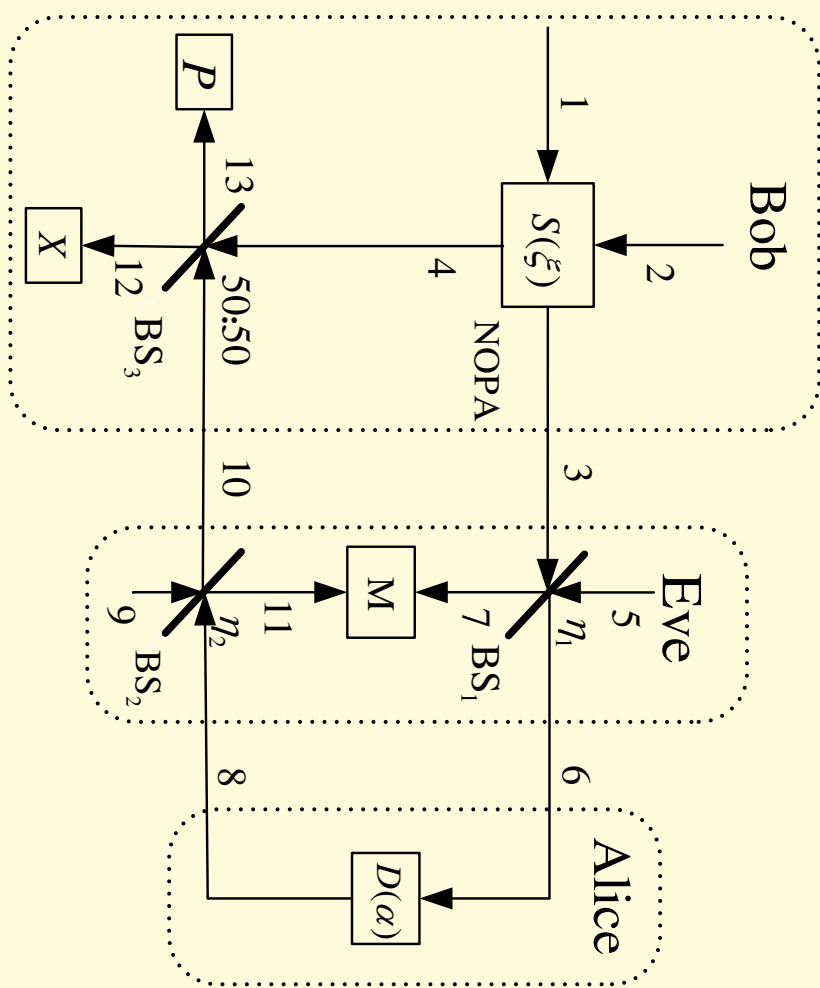


图7. 基于高斯调制连续变量EPR纠缠对的确定性量子密钥分发方案框图



3.2. 安全性分析

3.2.1. 秘密信息速率 ΔI



连续变量量子信息简介
基于连续变量EPR纠缠...
基于连续变量EPR纠缠...

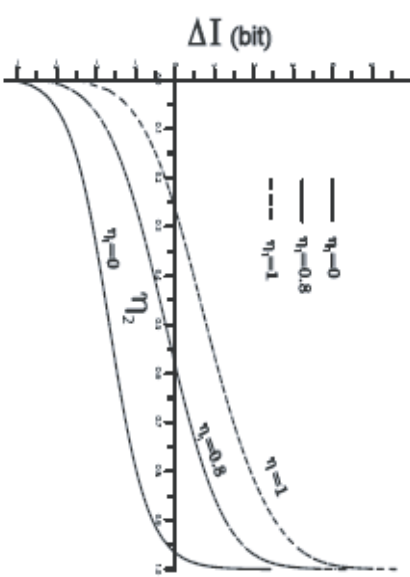


图 5.2 当 $\eta_1 = 0, 0.8, 1, \Sigma = 30, r = 2$ 时, ΔI 与 η_2 之间的关系

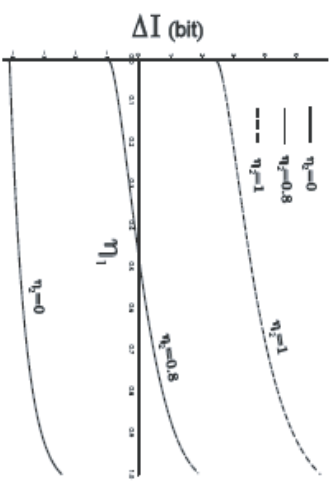


图 5.4 当 $\eta_2 = 0, 0.8, 1, \Sigma = 30, r = 2$ 时, ΔI 与 η_1 之间的关系

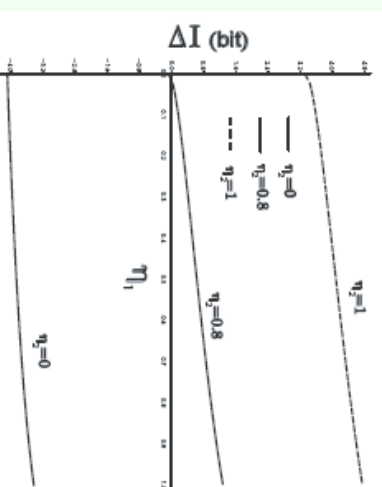


图 5.3 当 $\eta_1 = 0, 0.8, 1, \Sigma = 30, r = 1$ 时, ΔI 与 η_2 之间的关系

图 5.5 当 $\eta_2 = 0, 0.8, 1, \Sigma = 30, r = 1$ 时, ΔI 与 η_1 之间的关系

图 8. ΔI 与 η_1, η_2 之间的关系

访问主页
标 题 页
◀▶

第 13 页 共 17 页

返 回

全 屏 显 示

退 出

3.2.2. 窃听检测

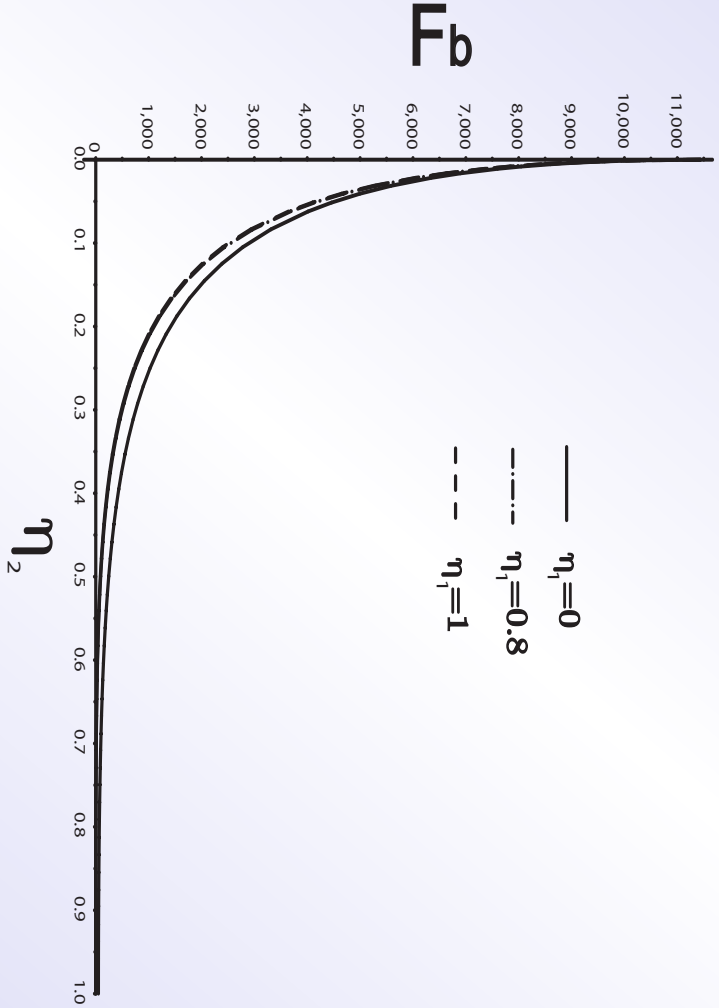


图9. 当 $n_1 = 0, 0.8, 1$, $\Sigma = 10$, $r = 2$ 时, F_b 与 n_2 之间的关系



3.2.3. ΔI 与 F 之间的关系

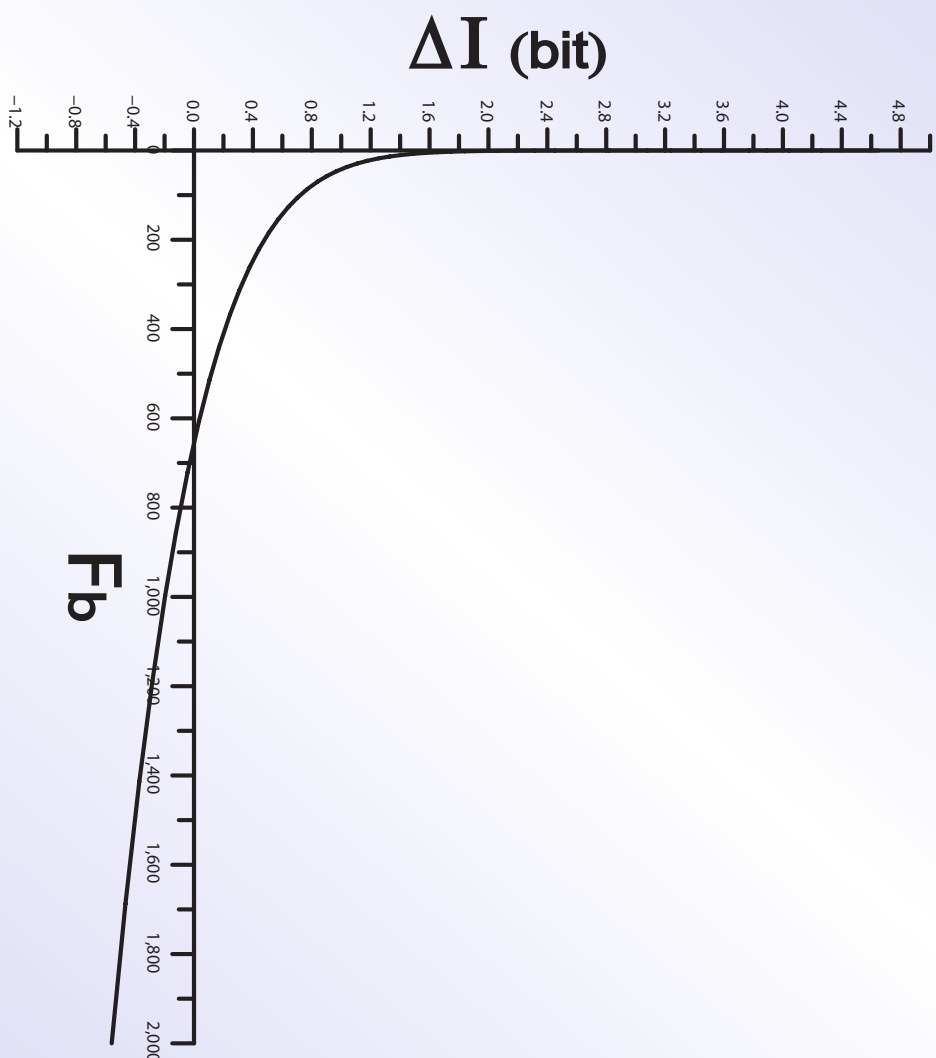


图10. 当 $\eta_1 = 1$, $\Sigma = 10$, $r = 2$ 时, ΔI 与 F_b 之间的关系





3.3. 小结

优点

- 1 通信速率随着压缩参数的增大而提高；
- 2 通信速率高，容易实验实现；
- 3 不需要单独控制模式，容易实现；
- 4 纠缠参数 P 能有效阻止光束分离攻击。

缺点

- 1 对信道损耗比较敏感。
- 2 由于采用two-way传输，限制了传输距离。



连续变量量子信息简介
基于连续变量EPR纠缠...
基于连续变量EPR纠缠...

谢谢！！

[访问主页](#)

[标题页](#)

[◀▶](#)

第 17 页 共 17 页

[返 回](#)

[全 屏 显 示](#)

[关 闭](#)

[退 出](#)

地址：上海市东川路 800 号交通大学电子工程系电信楼群 5

号楼 225 房间 (200240)

Email: gqhe@sjtu.edu.cn or laser_gqhe@hotmail.com

电话： 021 – 34204361 (实验室)

